

2リンク輸送系の貯留容積下限による 生産地と消費地の輸送時間

生産地 消費地
貯留容積 下限
時間

1.はじめに

生産地から消費地に至る貨物の輸送プロセスは、多段のリンクを経て、一括り結合した多重リンク輸送系として把握できる場合が多い。しかし、このように多段リンク輸送系の最適設計を一度に行なうことは困難である。よって、貯留容積がかなり大きいノードで積を分割するとか、適当にリンク相互間のインプット、アウトプットを媒介変数として2~3リンクからなるサブシステムの総合体として全体系を考察することが必要となる。本考察ではこの考え方について、2~3リンクから構成される輸送系の動態について待ち合せ理論とシミュレーションによる解析を行ない、さらにその解析結果にもとづき妥当な評価閾値を設定して、海上コンテナ詰め頭における荷役機械の組み合せを決定し、さらに荷役方式間の比較を行なった。

2.動態解析

本考察では、2リンク輸送系で一方のリンクの輸送機関は1台、中間ノードに貯留容積がある場合(Vユニットまで)について考える。輸送機関が1台のリンク(リンク1)のサイクルタイムが位相r、平均1/hをもつアーランであり、輸送機関が複数台(M台)のリンク(リンク2)のサイクルタイムは平均1/hの指数分布からなるものとする。いま、

システムの状態をプロセス $(n; t)$ によって記述する。ここに、tは時刻を表わし、nは状態変数で

$$n = \begin{cases} 0 & : \text{リンク1の輸送機関が遊休するとき} \\ S + l r : & \text{リンク1の輸送機関がS番目の位相にあり、貯留施設かよび待っているリンク2の輸送機関の空き容量の合計がlユニットのとき} \end{cases}$$

である。定常状態における確率方程式は、

$$P_{11} = \lambda_0 P_0 / \mu \mu,$$

$$P_{n+1} = (1 + \lambda_n / \mu \mu) P_n, \quad (0 < n < r)$$

$$P_{n+r} = (1 + \lambda_n / \mu \mu) P_n$$

$$- \lambda_{n+r} P_{n+r} / \mu \mu, \quad (r \leq n < (V+M+1)r)$$

であり、確率条件式は

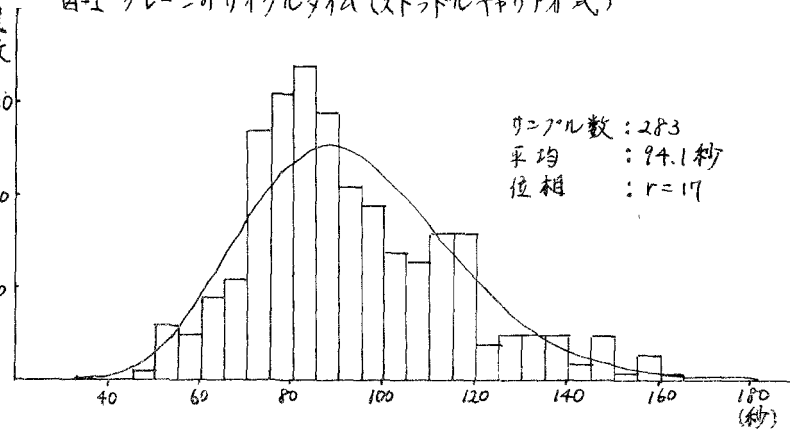
$$\sum_{n=0}^{(V+M+1)r} P_n = 1$$

である。ここに、

表-1 ストラドルキャリア方式の場合クレーン遊休率(V=1)

P	M	1	2	3	4	5	6	7	8	9	10
0.1	I	0.90	0.80	0.70	0.61	0.51	0.43	0.35	0.27	0.21	0.15
	II	0.90	0.80	0.70	0.60	0.51	0.41	0.32	0.24	0.17	0.11
	III	0.90	0.80	0.69	0.60	0.50	0.40	0.31	0.21	0.12	0.07
0.2	I	0.80	0.61	0.44	0.29	0.18	0.10	0.05	0.03	0.01	0
	II	0.80	0.60	0.42	0.26	0.13	0.06	0.02	0.01	0	0
	III	0.80	0.60	0.39	0.21	0.06	0.01	0	0	0	0
0.3	I	0.71	0.45	0.25	0.12	0.05	0.02	0.01	0	0	0
	II	0.70	0.42	0.20	0.07	0.02	0	0	0	0	0
	III	0.70	0.38	0.12	0.01	0	0	0	0	0	0
0.4	I	0.62	0.32	0.14	0.05	0.02	0	0	0	0	0
	II	0.61	0.27	0.08	0.01	0	0	0	0	0	0
	III	0.60	0.20	0.01	0	0	0	0	0	0	0
0.5	I	0.53	0.22	0.09	0.02	0.01	0	0	0	0	0
	II	0.52	0.16	0.03	0	0	0	0	0	0	0
	III	0.50	0.05	0	0	0	0	0	0	0	0

図-1 クレーンのサイクルタイム(ストラドルキャリア方式)



$$\lambda_n = \begin{cases} M\lambda; & 0 \leq n \leq (V+1)r \\ (M+k)\lambda; & (V+k)r < n \leq (V+k+1)r \end{cases}$$

である。解析結果は、たとえば $V=1$ のケースについて、 $\rho = \lambda/M$ をパラメータにして表-1 にモデル II として示した。この場合、位相トマツ

では実測値にちどりつき $r=17$ とした。(図-1 参照)。一方、図-2 はリニクスの輸送機関のサイクルタイムを χ 通過度数定したものである。このように、両リニクスのサイクルタイムに規則性が加わった場合については状態の数が増し、理論解析が困難になる。表-1 のモデル III は、このようなシステムをモンテカルロ・シミュレーションにより解析した結果である。

3. 考察

考察に先立ち、表-1 のモデル I は両リニクスとも指數分布を仮定して得た待ち合せ理論解である。また、表-1 は $V=1$ の場合の結果であるが、同様な表は $V=0, 1, 2$ に対応してそれぞれ得られるので、それらをモデル a, b, c と呼ぶ。これらより、次のことことが明らかになった。

1) モデル I の a, b, c, モデル II の a, b, c あるいはモデル III の a, b, c を比較すれば、 V が一定の場合サイクルタイムに規則性が加わるにつれて輸送機関の遊休率が低下するという実際のオペレーションの経験を示している。特に、 P_0 に及ぼす各モデル I, II, III の間の差異は、a, b, c いずれの場合も $PM < 0.6$ および $PM > 1.0$ の範囲においては 4% 未満であり、比較的小さい。前者はクレーニが一方向的に待つ場合で、後者はキャリアが一方向的に待つ場合に相当する。よって、各モデルの取扱選択にあたっては、対象とする輸送システムの PM の値がどの範囲に入っているかに注意する必要がある。

2) モデル I, II, III いずれにおいても V が 1, 2 の場合、すなわち貯留施設が存在する場合は、 V が 0 の場合、すなわち貯留施設のない場合に比較して遊休率が低下している。これは、貯留施設の存在によって、隣接リニクスの影響が緩和されるためである。とくに、 $0.5 < PM < 2.0$ の範囲ではその低下が顕著であり、 $V=0$ と $V=1$ との差異はモデル I では最大 8.3%，モデル II では 7.2%，モデル III では 8.6% となる。

3) 貯留施設が存在する場合の V の値の影響を調べてみると、 V の値が 1 と 2 の場合を比較するとその差異はモデル I, モデル II, モデル III の順に小さくなっている。とくに、モデル III の場合の差異は、最大でわずか 3.2%，平均 0.8% 程度である。

さらに、3 リニクス輸送系の動態解析およびこれら動態解析モデルを適用して、コンテナ頭施設の計画例の試算を行なったが、詳細については講演時にゆずる。

参考文献

J. T. Morgan : Two-Link Material Handling Systems, JORSRA, Vol. 14, No. 1, 1966

